



Zoran Bobić Šonc

00-00

## SOLVERUM PROBLEMA KONSTRUKCIJE STEINEROVOG MONILOIDA, OGRLICE, ŠESTAROM I RAVNALOM<sup>1</sup>

**Sažetak, resimea:** Solverum se odnosi na problem titenacije<sup>2</sup>, odnosno namještanja kotangentnih krugova, između dva ekscentrična kruga. Problem je u teinometriji<sup>3</sup> definirao švicarski matematičar akademik Jacob Steiner u prvoj polovici XIX stoljeća i poznat je po njemu kao problem Steinerovog moniloida, od lat. monile, ogrlica. Steiner je postavio opći princip konstrukcije takvog moniloida i riješio konstrukciju najvećeg i najmanjeg kruga u moniloidu. Za ostale krugove između njih, kako je matematički dokazano, ne mogu postojati absolutne konstrukcije s konačnim brojem teinometriskih poteza. Ostali kotangentni krugovi mogli su se konstruirati šestarom i ravnalom tek nakon pojave procedentne logokodusne, programske, teinometrije autora Zorana B. Šonca objavljene i nagrađene zlatnom medaljom na svjetskoj izložbi izuma i inovacija BRUSSELS EUREKA'99. Procedentna teinometrija mijene protežnosti u okviru neoeuklidike<sup>4</sup> određuje logokodus K, tj. matematički program konstrukcije takvih kotangentnih krugova Steinerovog moniloida.

**Ključne riječi:** omnikonstrukcija, cirkulus, ekvicirkulus, ekscentricitet, excentro-cirkulus, korelatum, kotangencija, logokodus, K, neoeuklidika, Steiner, tantrigon, variocirkulus.

### Uvod, prolegomena, introdukcionum

Moniloid predstavlja naziv za medusobno povezane cirkuluse, krugove, u petlju tako da se medusobno dodiruju. Ukratko, moniloid je skup, koligum, kotangentnih<sup>6</sup> variocirkulusa u petlji. Problem konstrukcija takvih

<sup>1</sup> Konstrukcija šestarom i ravnalom, kojeg u praksi zamjenjuju crtački trokutnici trigonali, znači da se konstrukcije izvode samo primjenom kružnih dužina i lukova.

<sup>2</sup> Titenacija, smještenje, grč. τίτεναι titenaj, je matematička disciplina u teinometriji i odnosi se na smještanje jednog formoida u drugi, kao npr. kvadrata u krug (francuski immersion, njem. Einbettung, rus. смешение, engl. imbedding), po matematičaru akademiku Danilu Blanuši nakon II. svjetskog rata u Zagrebu.

<sup>3</sup> Teinometrija, grč. τείνει protezati se, teina protežnost, izvorno Geometrija, je matematička disciplina izmjere dimenzija protežnosti. Dimenzija  $D$  je određenje bitka iskazano mjerom, metremom.

<sup>4</sup> Neoeuklidika, grč. veos, neos, nov, je matematička nadogradnja euklidike antičke Grčke uvođenjem: kretanja apstraktne točke<sup>5</sup>, zakriviljenih i višesimetralnih prostora, matematičke mijene protežnosti, mutoteinometrije (Lobačevski, Riemann, Hilbert, Blanuša).

<sup>5</sup> Točka, Λ, lat. locus, odredište, mjesto, u matematici stigma, u topografiji punkta. Stigma je odredište bez dimenzija.

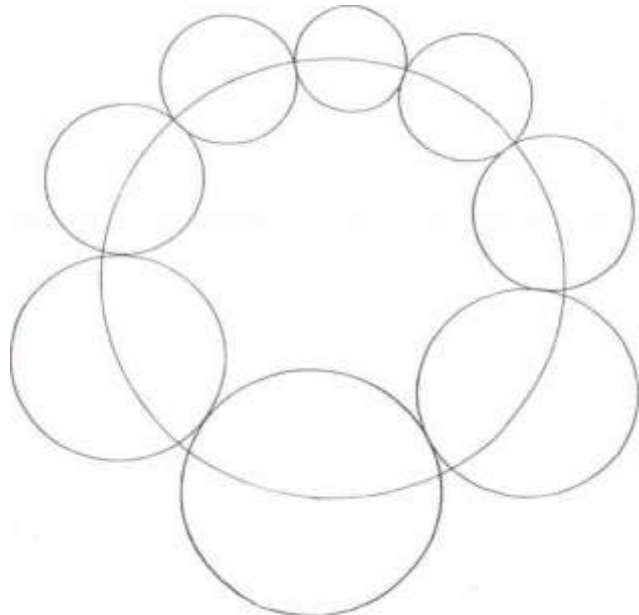
<sup>6</sup> Kontagencija lat. tangentio, dodir, medusobno dodirivanje više teinomtriskih formoida

kotangentnih cirkulusa postavio je švicarski matematičar akademik Jacob Steiner (1796.-1863.) i po njemu se nazivaju Steinerovi moniloidi gdje lat. monile znači ogrlica.

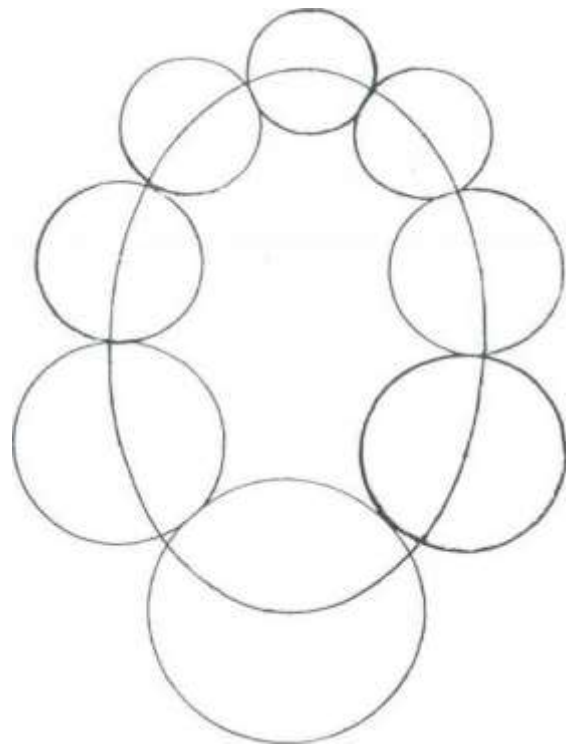
Petlje na kojima se nalaze centri kotangentnih<sup>6</sup> cirkulusa mogu imati razne oblike, od cirkulusnog do kurvoidnog oblika među kojima su najčešći elipsoidni i ovumoidni, jajoliki, Slika 1-1 i 1-2.

Konstrukcije kurvoidnih moniloida izlaze iz okvira ovog članka.

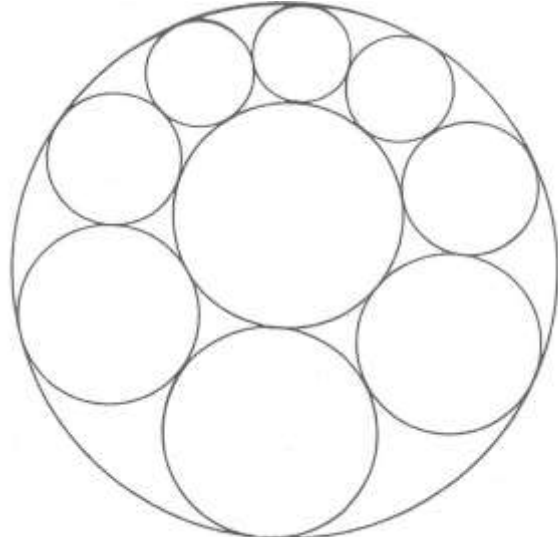
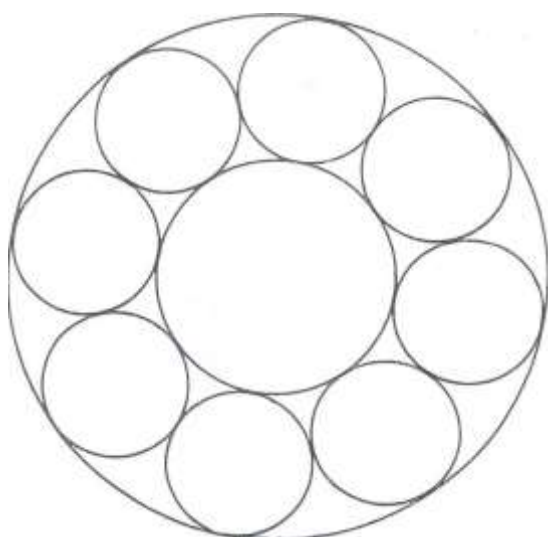
Za konstrukcije moniloida Steiner je postavio osnovnu metodu njihovih konstrukcija koja se sastoji u početnoj konstrukciji od pravilnog tatomoniloida s cirkulom, kružnicom, i na njoj zbir od  $n$  cirkulusa jednake veličine, nazvanog ekvicirkulusan moniloid. Tako postoje dvije vrste moniloida: ekvicirkulusni i variocirkulusni moniloidi s kotangentnim cirkulusima promjenljive veličine, slika 1-3.



Slika 1-1 Steinerov cirkulusan moniloid



Slika 1-2. Elipsoidan moniloid



a) Ekvicirkulusni

b) Variocirkulusni

Slika 1-3. Dvije osnovne vrste (specifiye) moniloida.

Konstrukcijom ekvicirkulusnog moniloida iz jednakih cirkulusa određuju se ključni elementi za sljedeću konstrukciju variocirkulusnog moniloida a to su: direkta i cirkulus ekscentriteta moniloida.

Direkta  $d_{ep}$  i cirkulus  $C_e, r_e$  ekscentriteta osiguravaju da se svi cirkulusi koji su smješteni na centrocirkulusu između periekscenocirkulusa tako poslože da budu svi kotangentni i da se ne preklapaju.

Steiner je odredio da se cirkulus excentriticeta treba nalaziti između maxsimalnog i minimalnog cirkulusa u variocirkulusnom moniloidu.

Ostao je problem konstrukcije direkte  $d_{ep}$  ekscentriticeta koja određuje pomak iz centra excentrocirkulusa  $C_e, r_e$  i problem konstrukcije cirkulusa variocirkulusnog moniloida.

Ostali cirkulusi variocirkulusnog moniloida mogli su se konstruirati tek nakon pojave 1999. godine procedentne programske teinometrije, koja primjenom adekvatnog logokodusima K pouzdano vodi konstrukciju u limes korištenjem samo šestara i ravnala, tj. orto-trigonala<sup>7</sup>.

Izvođenje teinometrijskih konstrukcija, šestarom i ravnalom, po analitičkim izrazima i formulama u osnovi je nematematičko, neprirodno i daje u pravilu praktično nekonstruktibilne konstrukcije, casus irproducibilis.

Tako je npr. konstrukcija trigona na osnovu poznatih njegovih hipoteta visina, korištenjem postojećih analitički izvedenih formula, iako algebarskih, praktično neprovediva šestarom i ravnalom. Postoji izvorna apsolutna teinometrijska konstrukcija kojom se u nekoliko teinometrijskih poteza konstruira s visinama traženi petotrigon.<sup>8</sup>

Teinometrija, prije geometrija, je autoktona matematska disciplina koja zajedno sa numerometrijom čini matematiku. Teinometrija sve konstruira primjenom svojih izvornih teinometrijskih elemenata: kružnim lukovima i dužinama, po adekvatnim teinometriskim programima, logokodusima K kojim se određuje njihovo mjesto - lokus, položaj - pozicija, veličina, veličina - megatum i redoslijed – ordosekvium [7].

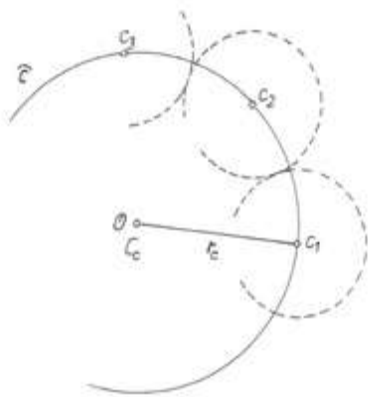
## 2. Faze konstruiranja Steinerovog moniloida

Steinerovi moniloidi se u teinometriji konstruiraju po fazama gdje svaka faza ima određen broj teinometrijskih poteza, teinusa. Bitna dva podatka za konstruiranje su broj cirkulusa moniloida  $n$  i njegova veličina određena veličinom centralnog cirkulusa, centrocirkulusa.

Konstrukcija moniloida ima dva karakteristična dijela. Prvi dio odnosi se na konstrukciju ekvicirkulusnog moniloida a drugi na završnu konstrukciju variocirkulusnog moniloida,

### 2.1 Konstrukcija ekvicirkulusnog moniloida s $n$ jednakih cirkulusa.

1. Prva faza konstruiranja započinje konstrukcijom određenog centrocirkulusa  $C_c, r_c$  koji određuje veličinu moniloida i na čijoj se cirkuli nalazi  $n$  kotangentnih ekvicirkulusa, slika 2-1.



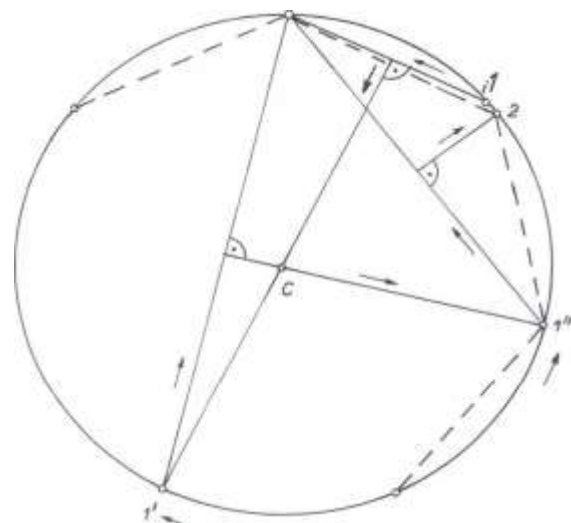
Slika 2-1. Centrocirculus Steinerovog moniloida

## 2. Konstrukcija u centrocirkulu pravilnog poligona s $n$ stranica, tenuza.

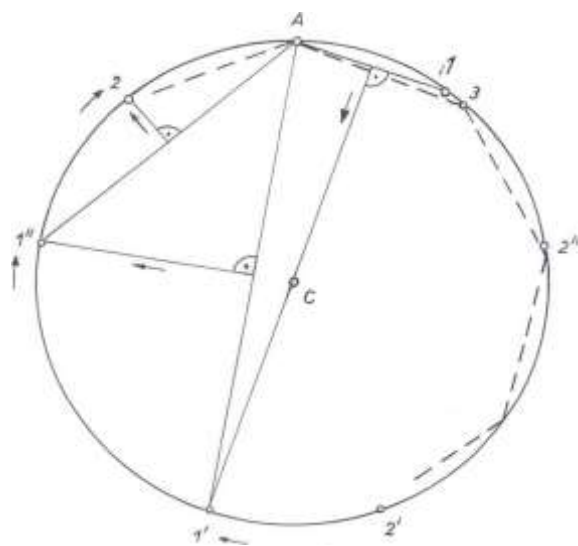
Za neparne poligone: septagon (7), nonagon (9) ne postoje absolutne konstrukcije pa se konstruiraju procedentnim logokodusnim konstrukcijama. Primjenom logokodusa  $K_n$  se praktično u šest teinometrijskih poteza, teinusa, na centrocirkuli konstruira njihova stranica, tenuza, [11], slike 2-2a ,2-2b.

<sup>7</sup> "Broj pripada količini, a duljina veličini" navodi Tales.

<sup>8</sup> "Gospodo matematičari, vratite se pitagorejstvu" B.Russell (1872, -1970) [5]



Slika 2-2a. Logokodusna konstrukcija septagona(7): simetrale triju akronskih tetiva, jedna u jednom, druga u drugom smjeru

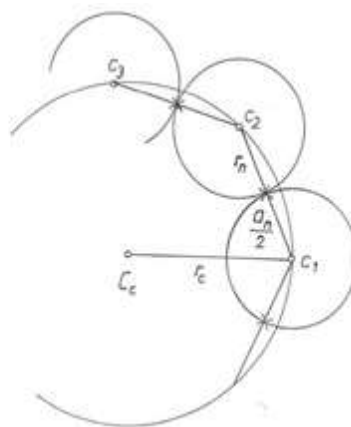


Slika 2-2b.Logokodusna konstrukcija nonagona (9),  
simetrale akronskih tetiva u istom smjeru

Undekagon (11) se konstruira po logokodusu: četiri simetrale akronskih tetiva u vrhu akrona A, u jednom smjeru pa potom četiri simetrale u suprotnom smjeru.

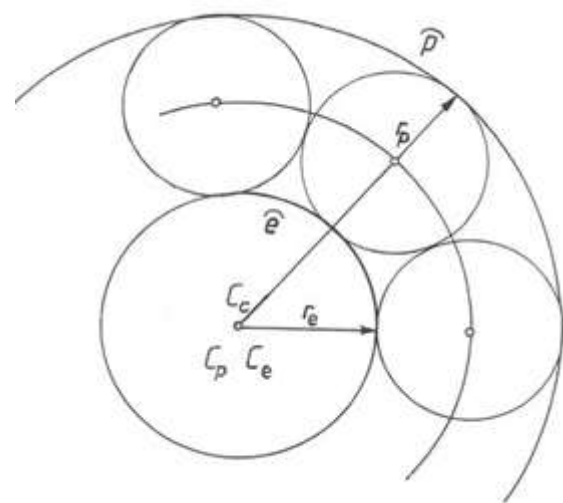
Logokodus  $K_n$  se konstruira polazeći od proizvoljno, sponto, određene točke duljine tenuse, incistigme 1 gdje se očekuje točka limesa pa po logokodusu do točke 2. Ponavaljanjem logokodusa  $K_n$  povećava se grafička točnost duljine tenuse tato-poligona na putu k<sup>a</sup> limesu.

3. Konstrukcija  $n$  ekvicirkulusa radiusa  $r_n = a_n/2$  u vrhovima, akronima, tato-poligona, slika 2-3.



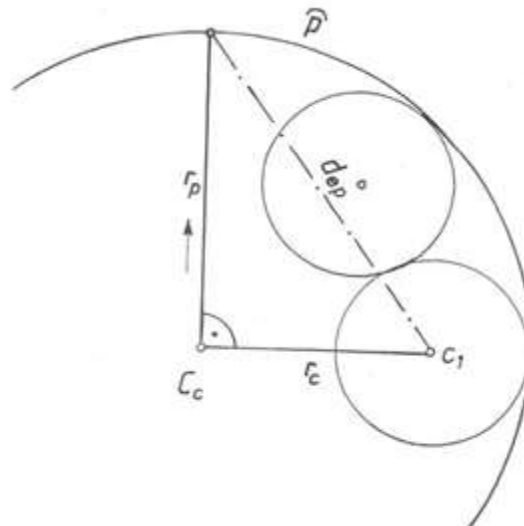
Slika 2-3. Ekvicirkulusi tato-moniloida.

4. Konstrukcija peri i endocirkulusa čije cirkule dodiruju moniloidne cirkuluse s vanjske i unutarnje strane, slika 2-4.



Slika 2-4. Peri i endocirkulus moniloida

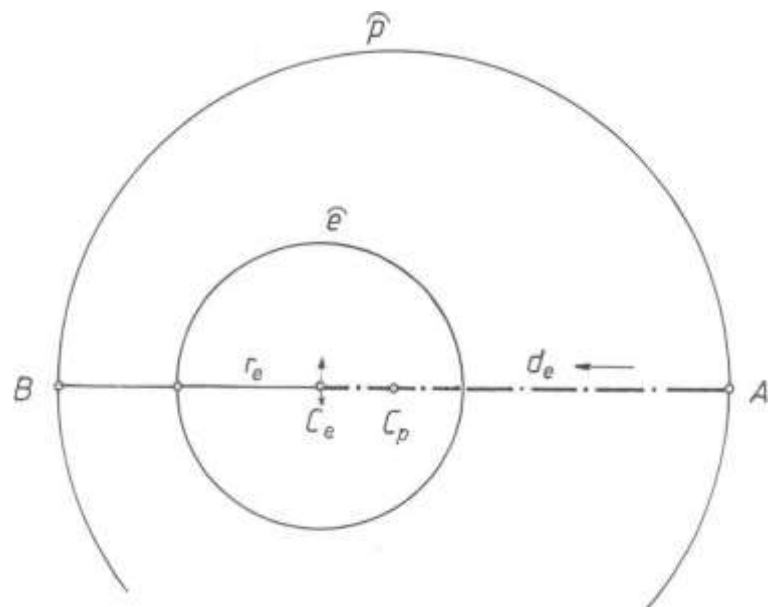
5. Konstrukcija direkte ekcentriciteta  $d_{ep}^{\leftrightarrow} = \sqrt{r_c^2 + r_p^2}$  kao hipotenuze ortotrigona s katetama radiusa  $r_c$  i  $r_p$ , slika 2.5



Slika 2-5. Direkta excentriciteta  $d_{ep}$  moniloida

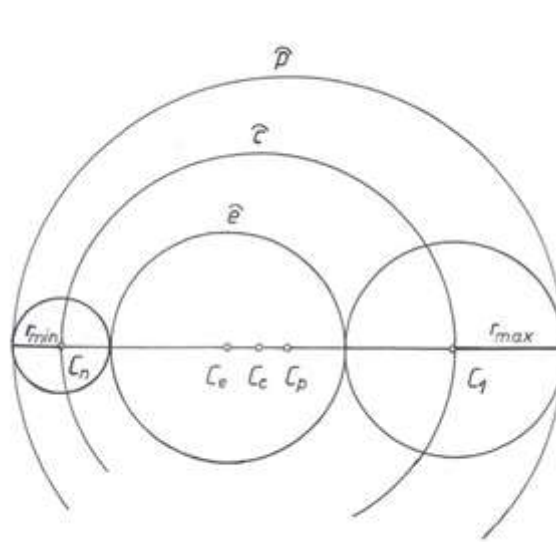
2.2. Konstrukcija variocirkulsnog moniloida s  $n$  različitim cirkulusa primjenom logokodusne teinometrije

6. Konstrukcija direkte ekscentriciteta  $d_{ep}$  ekscentrocirkulusa  $C_c$ ,  $r_c$  u pericirkulusu moniloida, slika 2-6



Slika 2.6. Konstrukcija direkte ekscentriciteta  $d_{ep}$  ekscentrocirkulusa  $C_c$ ,  $r_c$  u pericirkulusu

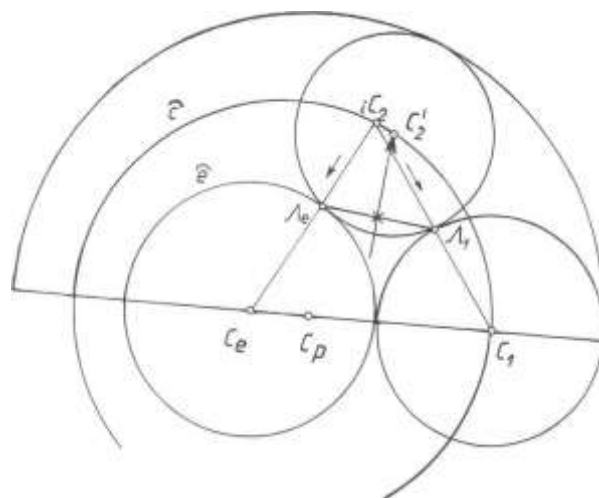
7. Konstrukcija najvećeg i najmanjeg variocirkulusa pored ekscentrocirkulusa te konstrukcija centrocirkule na kojoj se nalaze centri svih variocirkulusa moniloida,  $C_c^0 = C_1C_2/2$ , slika 2-7.



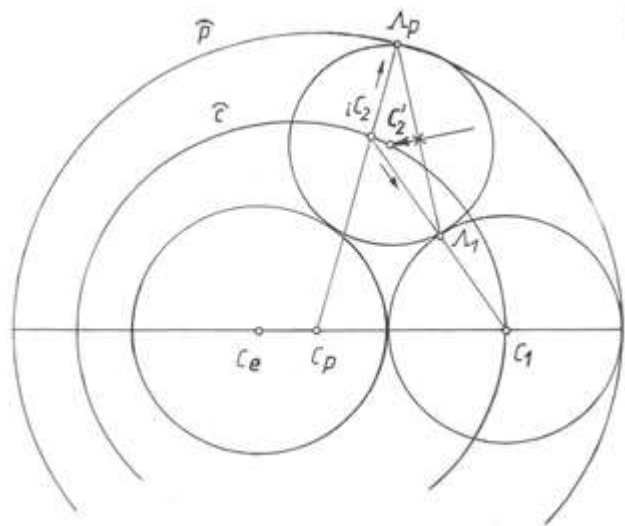
Slika 2-7. Maksimalni, minimalni i centrocirkulusi moniloida.

8. Konstrukcija ostalih variocirkulusa moniloida počev od najvećeg primjenom logokodusa za kotangentne cirkuluse. Variocirkulus  $C_n, r_n$  se može konstruirati primjenom jednog od dva logokodusa, jedan  $K_e$  koristi excentrocirkulus, drugi  $K_p$  koristi pericirkulus.

Konstrukcija logokodusa  $K$  se temelji na konstrukciji karakterističnog tantrigona čija simetrala dovoljno jedne njegove stranice, tenuse, određuje na centrocirkulušu točku centra variocirkulusa  $C_n$  [12], slike 2-8a, 2-8b.



Slika 2-8a Logokodus  $K_e$  s ekcentricirkulusom  $C_e, r_e$

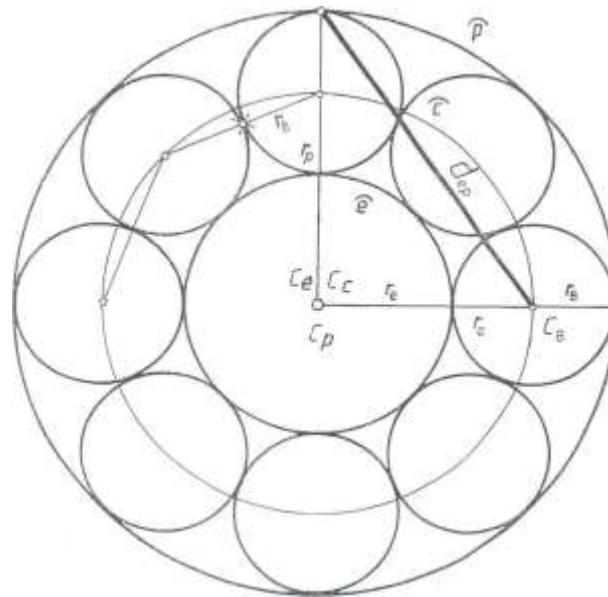


Slika 2-8b Logokodus  $K_p$  s pericirkulusom  $C_p, r_p$

### 3. Potpuna omnikonstrukcija Steinerovog oktocirkulusnog moniloida

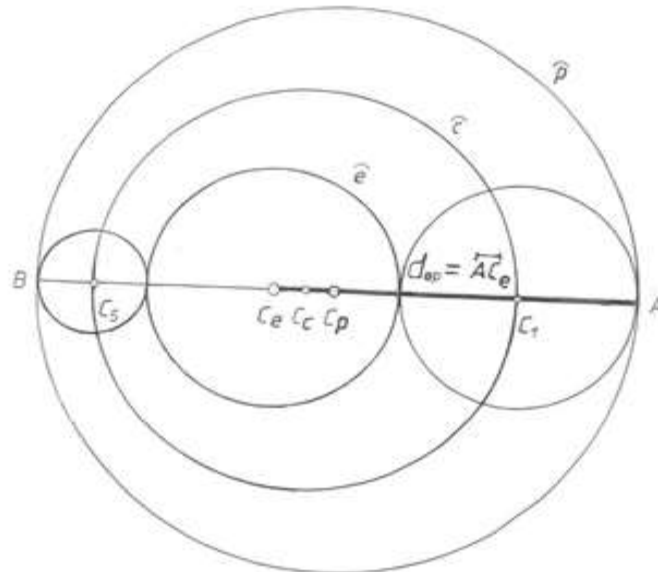
#### 3.1 Konstrukcija oktomoniloida

Konstrukcija započinje konstrukcijom ekvicirkulusnog oktomoniloida s osam jednakih cirkulusa  $n = 8$ . Na zadanoj certicirkuli  $C_c, r_c$  konstruira se pravilan tatooktgon u čijim se vrhovima nalaze centri jednakih cirkulusa koji se međusobno dodiruju. Radius  $r_n = r_8$  ekvicirkulusa oktomoniloida iznosi polovicu stranice oktogona,  $r_8 = a_8/2$ , sl. 3-1



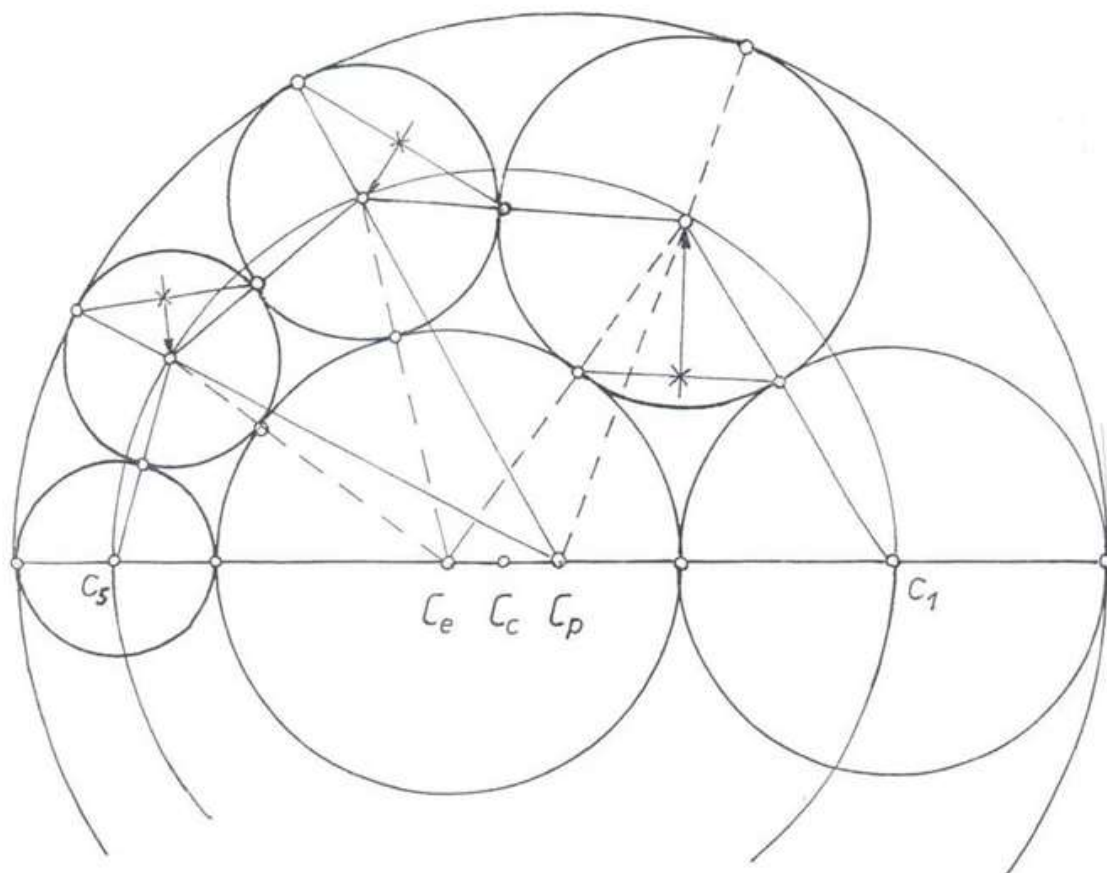
Slika 3-1. Steinerov ekvicirkulusan oktomoniloid.

Na osnovu konstrukcije ekvicirkulusnog moniloida konstruiraju se dalje pericirkulus i koncentrično manji endocirkulus radiusa  $r_e$ , koji u variocirkulusnom moniloidu ima funkciju ekscentrocirkulusa. Na osnovu određene dužine  $d_{ep}$  ekscentriticeta konstruiraju se u pericirkuli, excentrocirkulus  $e$ , maksimalan i minimalan cirkulus oktomoniloida, slika 3-2.



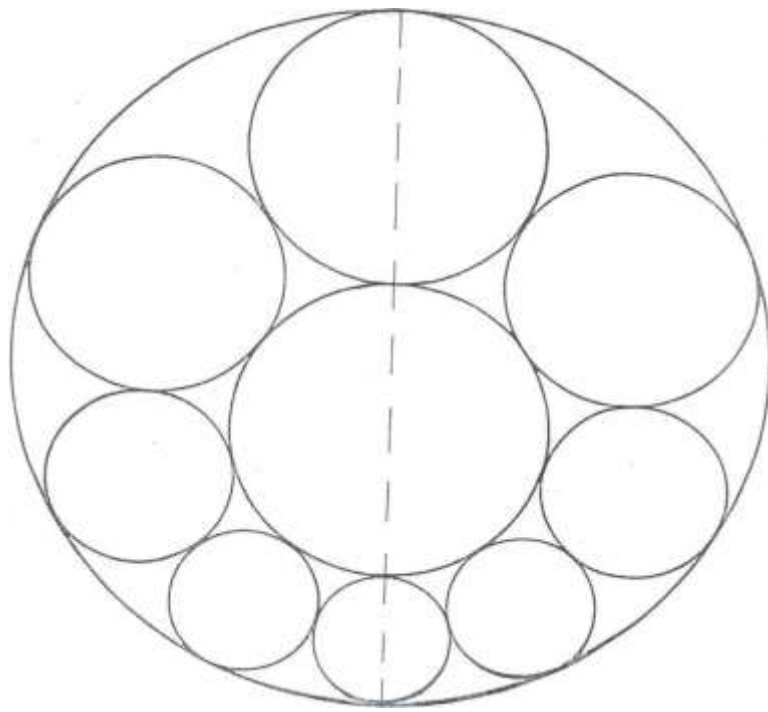
Slika 3-2 Osnovna konstrukcija variocirkulusnog oktomoniloida

Sljedeća faza konstrukcije oktomoniloida je konstrukcija tri kontangentna variocirkulusa između maksimalnog i minimalnog cirkulusa. Konstrukcija variocirkulusa se provodi primjenom logokodusa  $K_e$  ili  $K_p$  koju prikazuje slika 3-3.



Slika 3-3. Logokodusna konstrukcija preostala tri variocirkulusa oktomoniloida.

Preslikavanjem, transpecijom, tri variocirkulusa preko maksimalnog diametra dp pericirkulusa, konstrukcija završava potpunim izgledom Steinerovog oktocirkulusnog moniloida, slika 3-4.



Slika 3-4. Potpun izgled Steinerovog oktomoniloida

### 3.2. Analitičke korelacije variocirkulusnog oktomonoloida

1. Zadani certielementi konstrukcije:  $C_c$ ,  $r_c$  i  $n = 8$ .

$$2. x^\circ = \frac{360^\circ}{n} = \frac{360^\circ}{8} = 45^\circ$$

$$3. r_8 = r_c \frac{\sqrt{2-\sqrt{2}}}{2} = r_c \cos\left(90^\circ \cdot \frac{3}{4}\right) = r_c \sin \frac{180^\circ}{8} \approx r_c 0,3826834 \dots$$

$$4. r_p = r_c + r_8 = \frac{r_c}{2} \left(2 + \sqrt{2 - \sqrt{2}}\right) = r_c \left(1 + \sin \frac{x^\circ}{2}\right) = 1 + r_8 \approx r_c 1,3826834 \dots$$

$$5. r_t = r_c \cos \frac{180^\circ}{8} \approx r_c 0,9238795 \dots$$

$$6. r_e = r_c - r_8 = r_c \left(1 - \sin \frac{180^\circ}{8}\right) = 1 - r_8 \approx r_c 0,6173165 \dots$$

$$7. d_{ep} = \sqrt{r_c^2 + r_p^2} = r_c \sqrt{2 + \sin \frac{180^\circ}{8} \left(2 + \sin \frac{180^\circ}{8}\right)} \approx r_c 1,70640 \dots \approx r_c 1,7$$

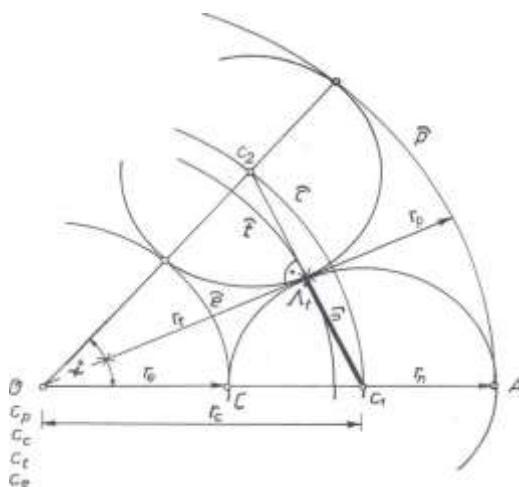
#### 4. Analitički korelatumi Steinerovog ekvicirkulsnog moniloida v

Analitički korelatumi<sup>9</sup>, iskazani matematičkim izrazima i formulama, služe za numeričko, kvantno, određivanje veličina pojedinih teimometrijskih elemenata konstrukcije i njihovih odnosa.

Prvenstveno su namjenjeni za određivanje numeričke kontrole točnosti konačnih konstrukcija tj. za određivanje teorijske tolerancije odnosno odstupanja postignutog rješenja od točnog rješenja.

Dokazano je da ponavljanje konstrukcije logokodus K rapidno smanjuje analitičku i grafičku pogrešku, discendum, svake konstrukcije, naročito grafičku pogrešku apsolutne konstrukcije<sup>10</sup>, [7]

Analitički korelatumi u konstrukciji Steinerovog n-ekvicirkulsnog moniloida prikazane na slici 4-1, dani su kako slijedi:



Slika 4-1. Teinometrički elementi Steinerovog moniloida

1. Zadani, certielementi:

Broj variocirkulusa  $n$  i veličina moniloida  $C_c, r_c$ .

2. Centrogonus, centralni kut ekvicirkulusa,

$$x^\circ = \frac{360^\circ}{n}$$

3. Radius ekvicirkulusa:

$$r_n^{\leftrightarrow} = \frac{a_n^{\leftrightarrow}}{2} = \frac{C_1 C_2}{2} = r_c \sin \frac{180^\circ}{n} = r_c \cos \left( 90^\circ \frac{n-2}{n} \right) = r_t \tan \frac{180^\circ}{n}$$

4. Periradius obodne cirkule:

$$r_p = r_c + r_n = r_c \left( 1 + \sin \frac{180^\circ}{n} \right), \text{ može biti zadan.}$$

<sup>9</sup> Korelatum, lat. corelatio, međuovisnost, odnos iskazan brojem N ili veličinom , megatumom N

<sup>10</sup> „Priroda ne zna za pogrešku, ona samo ostvaruje mogućnosti“, R. Bošković (1711 -1787)

5. Tanradius kotangentne točke ekvicirkulusa:

$$r_t = r_c \cos \frac{x^\circ}{2}$$

6. Excentroradius endocirkule moniloida:

$$r_e = r_c - r_n = r_c \left( 1 - \sin \frac{180^\circ}{n} \right)$$

7. Excentrodirekta, koja određuje veličinu excentriciteta, kao odmaknutost od centra peri i centrocirkulusa,

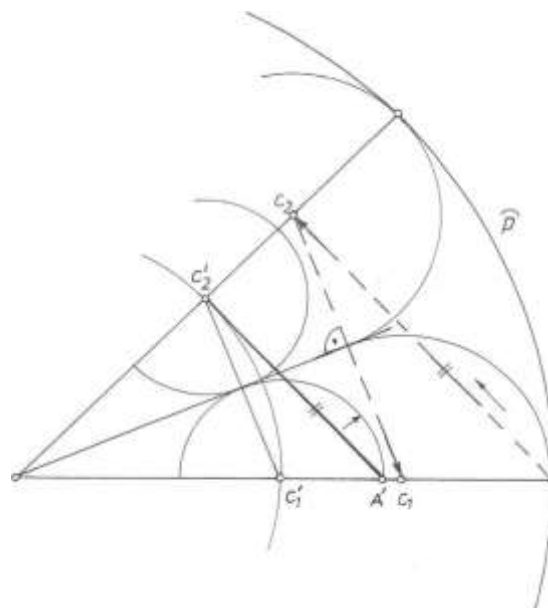
$$d_{ep} = \sqrt{r_c^2 + r_p^2}^{11} \quad d_{ep} = r_c \sqrt{2 + \sin \frac{180^\circ}{n} \left( 2 + \sin \frac{180^\circ}{n} \right)}$$

8. Radius centrocirkulusa:

$$r_c = r_p - r_n = r_p - r_c \sin \frac{180^\circ}{n}, \text{ može biti zadan}$$

U slučaju da nije zadan centrocirkulus moniloida već njegov pericirkulus centrocirkulus se konstruira primjenom paralelarne homotetije.

Na osnovu konstrukcije proizvoljnog pericirkulusa koji dodiruje cirkuluse moniloida ( $C'_1, C'_2$ ) bilo koje veličine, konstruira se centrocirkulus koji prolazi kroz centre  $C_1$  i  $C_2$  povlačenjem paralele  $AC_2 \parallel A'C'_2$  iz točke A na zadanom pericirkulu sliku 4-2.



Slika 4-2. Konstrukcija centrocirkulusa  $r_c = U C_1$  homotetnom transpozicijom  $C'_1 \leftrightarrow C'_2$  u  $C_1 \leftrightarrow C_2$ , paralelom  $AC_2 \parallel A'C'_2$

Takva homotetna transpozicija potvrđuje Talesovu paralelarnu proporciju koja glasi:  $A C_2 / r_p = A' C'_2 / r'_p$ .

<sup>11</sup> Radiciranje se u numeromatički označava s  $\pm\sqrt{N}$  čemu u algebarskoj teinometriji na brojevnom pravcu, numerodirektusu  $Nd$  odgovara postojanje dvaju smjerova s oznakama  $\mp\sqrt{N}$ , odnosno u algebi  $\pm\sqrt{2}$  odgovara u teinometriji dvjema dijagonalama kvadrata u dva smjera  $\mp\sqrt{2}$

## **Zaključak**

Konstrukcije cirkulusnih moniloida svih oblika, koje je u teinometriji, tada geometriji, postavio u prvoj polovici XIX stoljeća matematičar akademik J.Steiner konstruktibilne su u cijelosti šestarom i ravnalom, primjenom nove procedentne logokodusne teinometrije objavljene 1999. godine na BRUSSELS EUREKA '99.

## **Zahvala**

Posebno i srdačno zahvaljujem uredništvu Zbornika na brižnoj pripremi članka za tisk i na ustrajnosti objavljivanja novih dostignuća suvremene logokodusne geometrije.

*Z.B. Šonc*

## Literatura

- [1] Aristotel, *Metafizika i fizika*, prijevod izvornika Tomislav Ladan, Sveučilišna naklada Liber, Zagreb, 1985., 1987.
- [2] Blanuša Danilo, Quelques identités algébriques concernant les moyennes arithmétiques et géométriques. *Glasnik mat.-fiz. i astr.* 1.11.1956., 17-22.
- [3] Blanuša Danilo, *Viša matematika u četiri toma*, Tehnička knjiga, Zagreb, 1963. — 1974.
- [4] Devide Vladimir, *Matematička logika*, Matematički institut, Beograd, 1964., 1972.
- [5] Ogilvy C. Stanley, Unterhaltsame Geometrie, Vieweg, Braunschweig/Wiesbaden 1979.
- [6] RusseH Bertrand, *Principi matematike* (The Principles of Mathematics), Routledge London 1937
- [7] Šonc B. Zoran, Principi i praksa logokodusne teinometrije mutoidije (mijene), rukopis, Zagreb, 1999.
- [8] Šonc B. Zoran, Geometrijska konstrukcija brojevne direkte, dužine, s jednakom grafičkom točnošću svih decimala brojeva, rukopis, Zagreb, 1991.
- [9] Šonc B. Zoran, Lexikon euklidike i neoeuklidike — geometrijski termini i konstrukcije, rukopis, Zagreb, 1991/2019.
- [10] Šonc B. Zoran, Solverumi Malfattijevog marmornog tricirkulsnog problema šestarom i ravnalom, rukopis, Zagreb, 2012/19.
- [11] Šonc B. Zoran, Trisekcija i polisekcija gonusa šestarom i ravnalom, 8. simpozij Povijest i filozofija tehnike, Kiklos - krug knjige, Zagreb, 2019.
- [12] Šonc B. Zoran, Optimalni solverumi Apolloniosovih problema šestarom i ravnalom, 9. simpozij Povijest i filozofija tehnike, Kiklos-krug knjige, Zagreb, 2020.

Autor: Zoran Bobić Šonc